

九州大学 正員 山崎徳也
 " " ○横田漢

1. 緒言

上載荷重による地盤の振動は土木構造物の動的解析において重要な問題であり、荷重が地盤に直接作用する場合についての解析は Reissner¹⁾, Bickford²⁾ および夏海³⁾ などによつて数多く行われてゐるが、道路舗装などのように地盤上に板がある場合の研究は著者らの知る限り未だ見当らない。

本研究は地盤を半無限弾性体と考え、板に円型等分布直荷重が周期的に作用する場合の解析を行い、算例として荷重中心点における板のモーメントを算出したものである。

2. 解法

i) 基礎方程式 地盤上に板を置く、板の中立面を \bar{w} = 0 とする円筒座標 (r, θ, z) を導入し、地盤のせんせんの方向の変位を (u, v, w) とする。しかもとく、軸対称性を考慮すれば板の振動は次式にて表わされる。

$$\left(\frac{\partial^2}{\partial r^2} + \frac{1}{r} \frac{\partial}{\partial r} \right) \bar{w}_t + \frac{\rho_i H}{D} \frac{\partial^2 \bar{w}_t}{\partial t^2} = \frac{1}{D} \{ f(r) - Q(r) \} e^{i\omega t} \quad (1)$$

式(1)に $\bar{w}_t = W_t(r) e^{i\omega t}$ を代入すれば

$$\left(\frac{\partial^2}{\partial r^2} + \frac{1}{r} \frac{\partial}{\partial r} \right) W_t(r) - \lambda^4 W_t(r) = \frac{1}{D} \{ f(r) - Q(r) \} \quad (2)$$

ただし

W_t : 板のたわみ, ρ_i : 板の密度, H : 板厚, D : 板剛度

$$f(r) = \begin{cases} f_0 & (0 \leq r \leq r_0) \\ 0 & (r > r_0) \end{cases}, \quad Q(r): 地盤反力, \quad \lambda^4 = \frac{\rho_i H}{D} p^2$$

他方、地盤の応力、変位も対称性を考慮して

$$\sigma_z = G \left(A \frac{-2k^2 + f^2}{h^2} e^{-\alpha z} + 2C \frac{\beta k^2}{f^2} e^{-\beta z} \right) H_{00}^{(2)}(kr) e^{i\omega t}, \quad T_{z0} = 0$$

$$T_{zr} = G \left(A \frac{2\alpha}{h^2} e^{-\alpha z} - C \frac{k^2 + \beta^2}{f^2} e^{-\beta z} \right) \frac{\partial H_{00}^{(2)}(kr)}{\partial r} e^{i\omega t} \quad (3-1, 2, 3)$$

$$M = \left(-A \frac{1}{h^2} e^{-\alpha z} + C \frac{\beta}{f^2} e^{-\beta z} \right) \frac{\partial H_{00}^{(2)}(kr)}{\partial r} e^{i\omega t}, \quad V = 0$$

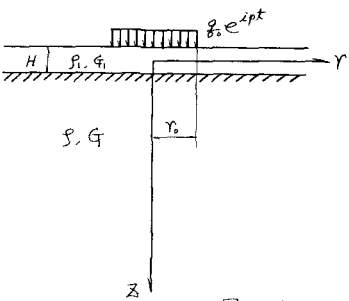
$$W = \left(A \frac{\alpha}{h^2} e^{-\alpha z} - C \frac{k^2}{f^2} e^{-\beta z} \right) H_{00}^{(2)}(kr) e^{i\omega t} \quad (4-1, 2, 3)$$

ただし

$$z = z - H/2, \quad \alpha^2 = k^2 - h^2, \quad \beta^2 = k^2 - f^2, \quad h = p/\sqrt{\rho/(G+2G)}, \quad f = p/\sqrt{\rho/G}$$

α, β は正の実数か正の虚数, A, C は積分定数

ii) 境界条件 板と地盤との接触面 $z = H/2$ にて次の二つを境界条件を考える。すなわち
 $(\sigma_z)_{z=H/2} = -Q(r) e^{i\omega t}, \quad (T_{zr})_{z=H/2} = 0, \quad (W)_{z=H/2} = W_t(r) e^{i\omega t} \quad (5-1, 2, 3)$



12-1

式(5-2), (3-3)より直ちに

$$C = \frac{2\alpha f}{k^2(k^2 + \beta^2)} A$$

上式を式(3-1), (4-3)に代入のうえ, 式(5-1), (5-3)を参照すれば

$$-\Omega(r) = \omega A J_0(kr), \quad M_1(r) = \alpha C A J_1(kr) \quad (6)$$

$$\alpha C = \frac{\alpha(-k^2 + \beta^2)}{k^2(k^2 + \beta^2)}, \quad \omega = \frac{(k^2 + \beta^2)(-2k^2 + f^2) + 4\alpha\beta k^2}{k^2(k^2 + \beta^2)} G$$

また, 荷重 $f(r)$ を Fourier-Bessel 構分で表すすれば

$$f(r) = \frac{P}{\pi} \frac{J_1(kr_0)}{kr_0} \int_0^\infty J_0(kr) kr dk, \quad P = \pi r_0^2 g. \quad (7)$$

式(6), (7)を式(2)に代入すれば結局, 構分定数 A と次式のようになります。

$$A = \frac{P}{\pi D} \frac{k_e J_1(kr_0)}{kr_0 \{ \alpha C (k_e^2 - \lambda^2) - \omega/D \}} \quad (8)$$

iii) 板のモーメント えられた構分定数 A , C を用いて板のモーメント式を説明し, 結果のみを記せば次式のとおりである。

$$M_R = \frac{P E}{\pi R_0} \int_0^\infty \frac{J_1(ga_0) \varphi \cdot \nu}{U(\varphi)} \left[E \varphi J_0(R \varphi \varepsilon) + \frac{\mu_1 - 1}{R} J_1(R \varphi \varepsilon) \right] d\varphi e^{ipz}$$

$$\text{ただし } U(\varphi) = \varepsilon^3 \nu \varphi^4 - b(1-\mu_1) \frac{g}{l} \varepsilon \varphi - b(1-\mu) g R(\varphi)$$

$$R(\varphi) = (2\varphi^2 - 1)^2 - 4\varphi^2 \nu \varepsilon, \quad \nu^2 = \varphi^2 - \varepsilon^2, \quad \varepsilon^2 = \varphi^2 - 1, \quad \varphi = k/l$$

$$E = a_0/R_0, \quad a_0 = r_0 f = r_0 \sqrt{g/G}, \quad R_0 = r_0/H, \quad g = G/G_0, \quad l = \varphi/\varphi_0$$

$$R = r/H, \quad \varepsilon = h/f = \sqrt{(1-3\mu)/2(1-\mu)}, \quad \mu, \mu_1, \text{板, 地盤のポアソン比}$$

とかくとき, 荷重の中心点 ($R=0$) における板のモーメントは次式で与えられる。

$$(M_R)_{R=0} = P \frac{1+\mu_1}{2\pi} \frac{a_0^2}{R_0^3} \int_0^\infty \frac{\varphi^2 \nu}{U(\varphi)} J_1(a_0 \varphi) d\varphi e^{ipz} \quad (9)$$

3. 計算例

表-1

算例として, $\mu_1 = \mu = 1/4$ ($\nu = 1/3$), $l = 0.694$, $g = 0.125$
 $R = 20$ の場合における式(9)のモーメントの値を求めれば以下のとおりである。

被構分函数の分母 $U(\varphi)$ は例へば上記諸性状の場合, 表-1 に示すとおり実根 φ_R を有してあり, したがって簡単に数值構分は行えない。ミニコンは以下のとく複素構分⁴⁾を用いて解析することとする。

式(9)は

$$J_1(a_0 \varphi) = -\frac{1}{\pi} \int_0^\infty (e^{ia_0 u \cosh \varphi} + e^{-ia_0 u \cosh \varphi}) \cosh u du$$

a_0	φ_R	a_0	φ_R
0.0	1.087666	0.8	1.171175
0.1	1.101490	0.9	1.167155
0.2	1.116130	1.0	1.159354
0.3	1.130965	1.1	1.148570
0.4	1.145009	1.2	1.135641
0.5	1.159078	1.3	1.121337
0.6	1.165995	1.4	1.106291
0.7	1.170833	1.5	1.091018

を代入のうえ整理すれば

$$(M_R)_{R=0} = -P e^{\frac{i\pi \pm 5a_0^2}{64\pi}} \bar{M}_R \quad (10)$$

$$\bar{M}_R = \int_0^\infty G(\mu) \cosh \mu d\mu \quad (11) \quad G(\mu) = \int_{-\infty}^\infty \frac{y \cdot \mu^2}{U(y)} e^{-ia_0 y \cosh \mu} dy \quad (12)$$

複素平面 $\eta = y + i\tau$ を導入し、式(12)の積分を次のよう改めて行う。すなはち、同式の被積分函数は y , μ の存在により分歧点 $(0, 0)$, $(1, 0)$ を有しており、Cauchy の定理を用ひるに以前に同函数をまず 1 価函数に直さなければならぬ。これは、 y とまず固分枝条を複素数値 k_R , k_B に置き換えようので、図-2 に示すごとき cut を導入することによつて達成される。この状態で固分の積分路に沿つて Cauchy の定理を適用して積分値を算出し、しかものち k_R , k_B を実軸上に戻す極限値として式(12)の積分値を求めよ。

いま、

$$G(\mu) = \int_{-\infty}^\infty \bar{H}(\eta) d\eta \quad \text{とおけば}$$

$$\oint \bar{H}(\eta) d\eta = \int_M^N + \int_N^L + \int_{L_R} + \int_{L_B} + \int_G^M = 2\pi i \sum \text{Res}$$

$$\text{ここで } M, N \rightarrow \infty \text{ とすれば } \int_{-\infty}^\infty \bar{H}(y) dy = -2\pi i \sum \text{Res} + \int_{L_R} \bar{H}(\eta) d\eta + \int_{L_B} \bar{H}(\eta) d\eta$$

しかものち、 k_R , k_B および K (極 y の複素数値) を実軸上に戻して、上式の積分演算を行えば結局、式(12)は次式で与えられる。

$$G(\mu) = 2\pi i K e^{-i y_R \cosh \mu} + \int_0^\infty F_1(\tau) e^{-i \tau a_0 \cosh \mu} d\tau + i \int_0^\infty F_2(y) e^{-i y a_0 \cosh \mu} dy \\ + i \int_{-\infty}^0 F_3(y) e^{-i y a_0 \cosh \mu} dy \quad (13)$$

F_1 は

$$K = -\frac{\sqrt{y_R^2 - 1/3}}{U'(y_R)}$$

$$F_1(\tau) = -1.125 \times \tau^2 \sqrt{\tau^2 + 1/3} \left\{ (2\tau^2 + 1)^2 - 4\tau^2 \sqrt{\tau^2 + 1/3} \sqrt{\tau^2 + 1} \right\} / Z_1(\tau)$$

$$F_2(y) = -1.125 \times y^2 \sqrt{1/3 - y^2} \left\{ (2y^2 - 1)^2 + 4y^2 \sqrt{1/3 - y^2} \sqrt{1 - y^2} \right\} / Z_2(y)$$

$$F_3(y) = -4.5 \times y^4 (y^2 - 1/3) \sqrt{1 - y^2} / Z_3(y)$$

$$Z_1(\tau) = (\tau^2 + 1/3) \left\{ (a_0/2)^2 \tau^4 - 0.405 a_0 \right\}^2 + 0.3164 \times \left\{ (2\tau^2 + 1)^2 - 4\tau^2 \sqrt{\tau^2 + 1/3} \sqrt{\tau^2 + 1} \right\}^2$$

$$Z_2(y) = (y^2 - 1/3) \left\{ (a_0/2)^2 y^4 - 0.405 a_0 \right\}^2 + 0.3164 \times \left\{ (2y^2 - 1)^2 + 4y^2 \sqrt{1/3 - y^2} \sqrt{1 - y^2} \right\}^2$$

$$Z_3(y) = (1/3 - y^2) \left\{ (a_0/2)^2 y^4 - 0.405 a_0 \right\} - 0.5625 \times (2y^2 - 1)^2$$

$$+ 16 \times 0.3164 \times y^4 (1 - y^2) (y^2 - 1/3)$$

式(13)を式(11)に代入すれば

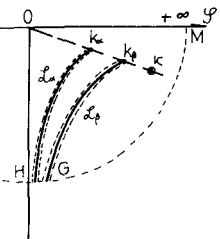


図-2

$$\bar{M}_R = 2\pi i \int_0^\infty K e^{-i\varphi a_0 \cosh u} \cosh u du + \int_0^\infty \int_0^\infty F_1(\varphi) e^{-i\varphi a_0 \cosh u} \cosh u du d\varphi$$

$$+ i \int_0^\infty \int_0^\infty F_2(\varphi) e^{-i\varphi a_0 \cosh u} \cosh u du d\varphi + i \int_0^\infty \int_0^\infty F_3(\varphi) e^{-i\varphi a_0 \cosh u} \cosh u du d\varphi$$

式より $H_1^{(2)}(\varphi) = -\frac{2}{\pi} \int_0^\infty e^{-i\varphi a_0 \cosh u} \cosh u du$ なる関係式を適用すれば次式をうる。

$$\bar{M}_R = -i\pi^2 K H_1^{(2)}(\varphi a_0) + \int_0^\infty \int_0^\infty F_1(\varphi) e^{-i\varphi a_0 \cosh u} \cosh u du d\varphi$$

$$- i \frac{\pi}{2} \int_0^\infty F_2(\varphi) H_1^{(2)}(\varphi a_0) d\varphi - i \frac{\pi}{2} \int_0^\infty F_3(\varphi) H_1^{(2)}(\varphi a_0) d\varphi$$

$\therefore \tau' H_1^{(2)}(\varphi) = J_1(\varphi) - iN(\varphi)$ と変換を行えば、結局、式(14)は次式で与えられる。

$$(M_R)_{R=0} = -P e^{i\varphi t} \{ f_1(a_0) + i f_2(a_0) \} \quad (14)$$

ただし

$$f_1(a_0) = \frac{5a_0^2}{64\pi} \left(-\pi^2 K N_1(\varphi a_0) - \frac{\pi}{2} \int_0^\infty F_2(\varphi) N_1(\varphi a_0) d\varphi - \frac{\pi}{2} \int_0^\infty F_3(\varphi) N_1(\varphi a_0) d\varphi \right.$$

$$\left. + \int_0^\infty \int_0^\infty F_1(\varphi) e^{-i\varphi a_0 \cosh u} \cosh u du d\varphi \right)$$

$$f_2(a_0) = \frac{5a_0^2}{64\pi} \left(-\pi^2 K J_1(\varphi a_0) - \frac{\pi}{2} \int_0^\infty F_2(\varphi) J_1(\varphi a_0) d\varphi - \frac{\pi}{2} \int_0^\infty F_3(\varphi) J_1(\varphi a_0) d\varphi \right)$$

いま、 a_0 の種々の値に対して式(14)における $f_1(a_0)$, $f_2(a_0)$

の値を算出し、因示すれば図-3の結果をうる。

4. 結語

周期荷重が作用する場合における板と地盤との相互作用の解明の方へととして、大抵比較的簡単な式(5)と与えられる境界条件を考えたが、固条件のうち特に、板と地盤の変位が常に同一であるという条件(式(5-3))は物理的現象として考慮すべき面があり、著者らの今後の研究課題である。

本報においては板のモーメントのみを問題として取り扱つてから同様の積分手法を用ひれば、板の変位および地盤の応力、変位も算出可能であり、これからは次の機会に発表する予定である。

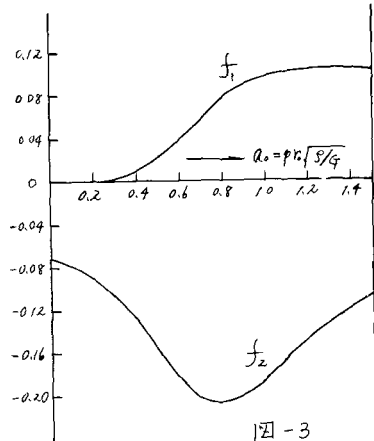


図-3

- 1) E. Reissner : "Stationäre, axialsymmetrische, durch eine schüttelnde Masse erregte Schwingungen eines homogen elastischen Halbraumes", Ingenieur Archiv, 7, 1936
- 2) G.N. Bycroft : "Forced Vibration of a Body on an Infinite Elastic Solid", Journal of App. Maths, 22, No 3, Sep. 1955
- 3) I. Toriumi . "Vibration in Foundation of Machines", Technical Report of Osaka University, 5, No. 146
- 4) W.M. Ewing, W.S. Jardetzky, F. Press : "Elastic Waves in Layered Media", McGraw-Hill Book